

## KG5

Reflexionsfaktor	
P <sub>d</sub>	0,921

Referenzdicke	
d [mm]	2

Spektrale Garantiewerte		
$\tau_i$ (365nm)	$\geq$	0.8
$\tau_i$ (500nm)	$\geq$	0.86
$\tau_i$ (600nm)	$\geq$	0.8
$\tau_i$ (700nm)	$\leq$	0.43
$\tau_i$ (800nm)	$\leq$	0.09
$\tau_i$ (900nm)	$\leq$	0.008
$\tau_i$ (1060nm)	$\leq$	0.0001
$\tau_i$ (2200nm)	$\leq$	0.001

Brechzahl n	
n <sub>i</sub> (365.0 nm) =	1.530
n <sub>d</sub> (587.6 nm) =	1.510

Dichte	
$\rho$ [g/cm <sup>3</sup> ]	2,53

Blasenhaltigkeit	
Blasenklasse	3

Chemische Haltbarkeit	
FR Klasse	0
SR Klasse	3.0
AR Klasse	4.0

Transformationstemperatur	
T <sub>g</sub> [°C]	565

Wärmeausdehnung	
$\alpha_{30/+70^\circ\text{C}}$ [10 <sup>-6</sup> /K]	5,4
$\alpha_{20/300^\circ\text{C}}$ [10 <sup>-6</sup> /K]	6,2
$\alpha_{20/200^\circ\text{C}}$ [10 <sup>-6</sup> /K]	

Temperaturkoeffizient	
T <sub>K</sub> [nm/°C]	

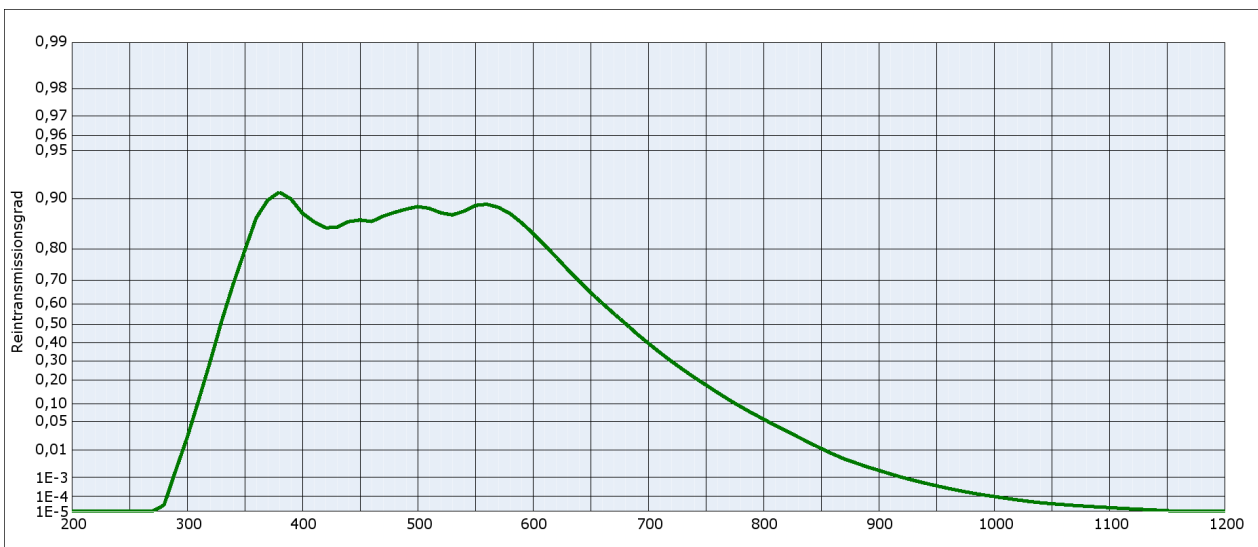
Bemerkungen	
Ionengefärbtes Glas	
Kurzpassfilter	
Wärmeschutzfilter	
☁	
Langzeitveränderungen des polierten Glases sind unter Umständen möglich.	
☀	
Transmissionsänderungen sind durch Einwirkung starker ultravioletter Strahlung möglich.	
Alle Angaben ohne Toleranzen sind als Richtwerte zu verstehen.	
Spezifizierte Werte sind lediglich die unter "Spektrale Garantiewerte" aufgeführten Angaben.	

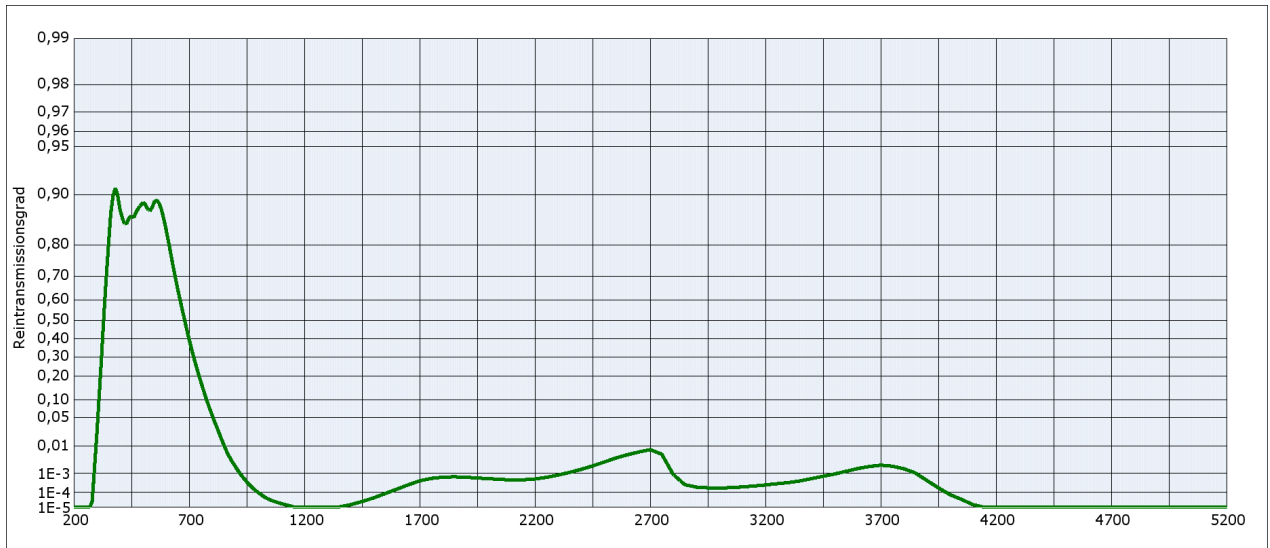
### Farbmetrische Auswertung

Lichtart	A (Planck T = 2856 K)		
	1	2	3
d [mm]			
x	0,440	0,434	0,427
y	0,411	0,415	0,418
Y	85	78	72
$\lambda_d$ [nm]	504	505	505
P <sub>e</sub>	0,02	0,03	0,05

Lichtart	Planck T = 3200 K		
	1	2	3
d [mm]			
x	0,416	0,410	0,404
y	0,402	0,406	0,409
Y	85	78	72
$\lambda_d$ [nm]	503	503	503
P <sub>e</sub>	0,02	0,03	0,05

Lichtart	D65 (T <sub>c</sub> = 6504 K)		
	1	2	3
d [mm]			
x	0,308	0,304	0,300
y	0,331	0,332	0,334
Y	85	79	74
$\lambda_d$ [nm]	496	496	496
P <sub>e</sub>	0,02	0,03	0,04





**Reintransmissionsgrad  $\tau_i$  bei der Referenzdicke  $d = 2 \text{ mm}$**   
**Die Reintransmissionsgrade, tabellarisch und graphisch, sind als Richtwerte zu verstehen.**

$\lambda$ [nm]	$\tau_i$	$\lambda$ [nm]	$\tau_i$	$\lambda$ [nm]	$\tau_i$	$\lambda$ [nm]	$\tau_i$	$\lambda$ [nm]	$\tau_i$	$\lambda$ [nm]	$\tau_i$
200	$< 10^{-5}$	500	0,888	800	$5,6 \cdot 10^{-2}$	1100	$1,9 \cdot 10^{-5}$	2200	$5,4 \cdot 10^{-4}$	3700	$2,2 \cdot 10^{-3}$
210	$< 10^{-5}$	510	0,885	810	$4,2 \cdot 10^{-2}$	1110	$1,7 \cdot 10^{-5}$	2250	$6,5 \cdot 10^{-4}$	3750	$2,0 \cdot 10^{-3}$
220	$< 10^{-5}$	520	0,878	820	$3,2 \cdot 10^{-2}$	1120	$1,5 \cdot 10^{-5}$	2300	$8,3 \cdot 10^{-4}$	3800	$1,6 \cdot 10^{-3}$
230	$< 10^{-5}$	530	0,874	830	$2,3 \cdot 10^{-2}$	1130	$1,4 \cdot 10^{-5}$	2350	$1,1 \cdot 10^{-3}$	3850	$1,0 \cdot 10^{-3}$
240	$< 10^{-5}$	540	0,881	840	$1,6 \cdot 10^{-2}$	1140	$1,2 \cdot 10^{-5}$	2400	$1,5 \cdot 10^{-3}$	3900	$4,6 \cdot 10^{-4}$
250	$< 10^{-5}$	550	0,890	850	$1,1 \cdot 10^{-2}$	1150	$1,1 \cdot 10^{-5}$	2450	$2,1 \cdot 10^{-3}$	3950	$1,9 \cdot 10^{-4}$
260	$< 10^{-5}$	560	0,892	860	$7,7 \cdot 10^{-3}$	1160	$1,0 \cdot 10^{-5}$	2500	$2,9 \cdot 10^{-3}$	4000	$7,4 \cdot 10^{-5}$
270	$< 10^{-5}$	570	0,887	870	$5,3 \cdot 10^{-3}$	1170	$< 10^{-5}$	2550	$4,1 \cdot 10^{-3}$	4050	$3,6 \cdot 10^{-5}$
280	$2,8 \cdot 10^{-5}$	580	0,877	880	$3,8 \cdot 10^{-3}$	1180	$< 10^{-5}$	2600	$5,3 \cdot 10^{-3}$	4100	$1,6 \cdot 10^{-5}$
290	$1,9 \cdot 10^{-3}$	590	0,860	890	$2,7 \cdot 10^{-3}$	1190	$< 10^{-5}$	2650	$6,6 \cdot 10^{-3}$	4150	$< 10^{-5}$
300	$2,2 \cdot 10^{-2}$	600	0,838	900	$2,0 \cdot 10^{-3}$	1200	$< 10^{-5}$	2700	$7,9 \cdot 10^{-3}$	4200	$< 10^{-5}$
310	0,114	610	0,810	910	$1,4 \cdot 10^{-3}$	1250	$< 10^{-5}$	2750	$5,6 \cdot 10^{-3}$	4250	$< 10^{-5}$
320	0,295	620	0,777	920	$1,0 \cdot 10^{-3}$	1300	$< 10^{-5}$	2800	$8,9 \cdot 10^{-4}$	4300	$< 10^{-5}$
330	0,516	630	0,738	930	$7,3 \cdot 10^{-4}$	1350	$1,0 \cdot 10^{-5}$	2850	$2,8 \cdot 10^{-4}$	4350	$< 10^{-5}$
340	0,684	640	0,696	940	$5,3 \cdot 10^{-4}$	1400	$1,5 \cdot 10^{-5}$	2900	$2,0 \cdot 10^{-4}$	4400	$< 10^{-5}$
350	0,795	650	0,650	950	$3,9 \cdot 10^{-4}$	1450	$2,6 \cdot 10^{-5}$	2950	$1,9 \cdot 10^{-4}$	4450	$< 10^{-5}$
360	0,869	660	0,604	960	$2,9 \cdot 10^{-4}$	1500	$4,5 \cdot 10^{-5}$	3000	$1,8 \cdot 10^{-4}$	4500	$< 10^{-5}$
370	0,898	670	0,555	970	$2,2 \cdot 10^{-4}$	1550	$8,5 \cdot 10^{-5}$	3050	$1,9 \cdot 10^{-4}$	4550	$< 10^{-5}$
380	0,909	680	0,505	980	$1,6 \cdot 10^{-4}$	1600	$1,5 \cdot 10^{-4}$	3100	$2,1 \cdot 10^{-4}$	4600	$< 10^{-5}$
390	0,900	690	0,450	990	$1,3 \cdot 10^{-4}$	1650	$2,7 \cdot 10^{-4}$	3150	$2,3 \cdot 10^{-4}$	4650	$< 10^{-5}$
400	0,877	700	0,398	1000	$9,9 \cdot 10^{-5}$	1700	$4,4 \cdot 10^{-4}$	3200	$2,7 \cdot 10^{-4}$	4700	$< 10^{-5}$
410	0,862	710	0,347	1010	$7,8 \cdot 10^{-5}$	1750	$5,8 \cdot 10^{-4}$	3250	$3,1 \cdot 10^{-4}$	4750	$< 10^{-5}$
420	0,850	720	0,299	1020	$6,2 \cdot 10^{-5}$	1800	$6,6 \cdot 10^{-4}$	3300	$3,6 \cdot 10^{-4}$	4800	$< 10^{-5}$
430	0,851	730	0,255	1030	$4,9 \cdot 10^{-5}$	1850	$6,9 \cdot 10^{-4}$	3350	$4,3 \cdot 10^{-4}$	4850	$< 10^{-5}$
440	0,862	740	0,214	1040	$4,1 \cdot 10^{-5}$	1900	$6,5 \cdot 10^{-4}$	3400	$5,6 \cdot 10^{-4}$	4900	$< 10^{-5}$
450	0,865	750	0,178	1050	$3,5 \cdot 10^{-5}$	1950	$6,0 \cdot 10^{-4}$	3450	$7,3 \cdot 10^{-4}$	4950	$< 10^{-5}$
460	0,862	760	0,145	1060	$3,0 \cdot 10^{-5}$	2000	$5,6 \cdot 10^{-4}$	3500	$9,3 \cdot 10^{-4}$	5000	$< 10^{-5}$
470	0,872	770	0,116	1070	$2,6 \cdot 10^{-5}$	2050	$5,1 \cdot 10^{-4}$	3550	$1,2 \cdot 10^{-3}$	5050	$< 10^{-5}$
480	0,879	780	$9,2 \cdot 10^{-2}$	1080	$2,3 \cdot 10^{-5}$	2100	$4,9 \cdot 10^{-4}$	3600	$1,6 \cdot 10^{-3}$	5100	$< 10^{-5}$
490	0,884	790	$7,2 \cdot 10^{-2}$	1090	$2,1 \cdot 10^{-5}$	2150	$4,9 \cdot 10^{-4}$	3650	$1,9 \cdot 10^{-3}$	5150	$< 10^{-5}$